

II-86 滝遊砂濃度の測定方法について

京都大学防災研究所 正会員 道工 正規
兵庫県土木部 正会員 白川 清

1. 緒言

河川の全流量からして滝遊砂量が占める割合是非常に大きく、その傾向は流量の増加とともに大きくなるようである。滝遊現象は河川の乱流と非常に密接な関係があり、現在河川で測定される滝遊砂濃度は数10秒程度のサンプリング時間で平均化されたものであつて、河川の乱れのスケールと比較してとてて、サンプリング時間が短かすぎるうであり、その結果濃度分布に非常にはづらしがみられるものと考えられる。滝遊砂濃度の変動は水流の乱れと類似的な変動現象であつて、濃度の連続測定によってその特性を把握することがサンプリング時間の決定などに重要なである。

滝遊砂濃度の連続測定装置のおもなものとしては、X線子又はY線を使用したものと光子的原理に基づくもののが考えられる。前者はX線またはY線の減衰砂を含んで流体質量に關係してあり、直接濃度測定ができるという長所を有してゐるが、しかし多額の費用を要する。一方後者は比較的簡単に作ることができる反面、濃度を間接的に測定するため滝遊砂の粒度分布を知る必要がある。その他に、超音波を利用して濃度計も研究されている。光子的原理に基づいた濃度計の研究は本間・堀川・間瀬¹⁾及びBhattacharya, Glover, Kennedy²⁾によるものに行はれており、濃度の連続測定が可能になりつつある。著者らも同様の手法によるて、一粒砂あたり混合砂の濃度測定法について検討し、濃度変動の測定例を述べて報告する。

2. 濃度計の原理

光の波長が砂粒子径に比較して十分小さい場合には、光量の減少は砂粒の断面積による遮蔽効果が支配的であることが知られる³⁾。したがって、遮蔽による光量の減少を本間ら⁴⁾によつて式で一般的に表すことができるようになる。

$$\frac{I}{I_0} = \exp \left(-\frac{\pi}{4} L K \sum n_i d_i^2 \right) \quad (1)$$

ここに、 I_0 、 I ；光源からの光量、 L ；光源と受光面との距離、 n_i ；単位体積中の粒径 d_i の砂粒の個数である。また、容積濃度 C_v 、平均体積径 Δ 及び平均面積径 Δ' はつづけのようにならべられる。

$$C_v = \pi/6 \sum n_i D^3, \quad \sum n_i d_i^3 / \sum n_i = D^3, \quad \sum n_i d_i^2 / \sum n_i = \Delta'^2 \quad (2)$$

(2)式を(1)式に代入して整理すれば、

$$\frac{I}{I_0} = \exp \left\{ -\frac{3}{2} L K (\Delta/D)^2 C_v / D \right\} \quad (3)$$

のようになる。これらの式は個数百分率の粒度分布に基づいて得られたものであるので、通常用いられる重量百分率の粒度分布と個数百分率のそれとの関係を明らかにしておく必要がある。

いま、個数百分率の粒度分布を $g(d)$ 、重量百分率のそれを $f(d)$ とすると、これらの関係は、

$$g(d) = A f(d) / d^3 \quad (4)$$

のようになる。ここに、 A ：理学化系けの定数である。したがって、 D あるいは Δ はつづけのようにならべられる。

2. 3.

$$D^3 = \int_a^b d^3 g(d) dd / \int_a^b g(d) dd = \int_a^b f(d) dd / \int_a^b f(d) / d^3 dd \quad (5)$$

$$\Delta^2 = \int_a^b d^2 g(d) dd / \int_a^b g(d) dd = \int_a^b f(d) / d dd / \int_a^b f(d) / d^2 dd \quad (6)$$

いま $f(d)$ が対数正規分布に従うものとし、 $\xi = \log_e d$ とおけば、 $f(\xi)$ は ξ の上に表される。

$$f(\xi) = 1/(\sqrt{2\pi}\sigma) \exp \{-\{\xi - m\}^2/(2\sigma^2)\} \quad (7)$$

ここで、 m : ξ の平均値、 σ : 標準偏差で $1/2 \log_e(d_{84}/d_{16})$ である。 (7) 式を (5) 式に代入して、規格化の条件を考慮すると、 $g(\xi)$ は

$$g(\xi) = 1/(\sqrt{2\pi}\sigma) \exp \{-\{\xi - (m - 3\sigma^2)\}^2/(2\sigma^2)\} \quad (8)$$

のようになり、100% 分率の粒度分布もまた対数正規分布に従うことわかる。下に平均値のみが $(m - 3\sigma^2)$ へ変化する。

さて、 (5) および (6) 式に (7) 式または (8) 式を代入すると、

$$D = \exp(m - 5\sigma^2/6) \quad (9)$$

$$\Delta = \exp(m - \sigma^2) \quad (10)$$

の関係が導きられるので、 (9) および (10) 式を (3) 式に代入して整理すればつぎのようになる。

$$I/I_0 = \exp(-3/2 L K e^{\sigma^2/2} C_v/e^m) \quad (11)$$

こうに、平均値 m は $m = 1/2 \log_e(d_{84}/d_{16})$ であることをすれば、 (11) 式は

$$I/I_0 = \exp(-3/2 L K e^{\sigma^2/2} C_v/d_m) \quad (12)$$

のようになる。ここで、 $d_m = \sqrt{d_{84} \cdot d_{16}}$ である。また (12) 式は Taylor 展開して 1 次の項までとすれば、

$$(I_0 - I)/I_0 = \Delta I/I_0 = 3/2 L K e^{\sigma^2/2} C_v/d_m \quad (13)$$

のようになり、 (13) 式は一粒砂の場合に比べて、 $e^{\sigma^2/2}$ が付加されており、近似的に対数正規分布が適用できる粒度分布に対しては (13) 式が成立するものと考えられる。 (13) 式中の遮蔽係数(吸光係数)は Rose³³⁾によれば、30 μm 以下の粒径、砂粒では $K=1$ となるようである。

3. 濃度計の概要

(1) まことに (13) 式から明らかなように、濃度の増加による光量の減少量を電気的に測定すれば、粒度分布の標準偏差あるいは平均粒径を知ることで濃度測定が可能である。 (12) 式において一粒砂の場合を考えると、 $\sigma = 0$ になると、光量の減少は L と C_v/d_m に比例する。これらが関係が図-1 に示されており、 $\sigma > 0$ の場合は、当該のことはから光源と受光面の距離 L が大きくなると、 C_v/d_m の減少範囲しか測定できなくなる。ここでは実験室用として、 $L = 3 mm$ に対するところに設計した。濃度計の受感部の概要が図-2 に示されている。光源としては安定かつ波長 0.94μ (近赤外)で非常にシャープなスペクトル特性を有しておりシャープガリウム磁素発光ダイオードを用り、受光器としてはこの発光ダイオードからの光量を受け取りに適したシャープコニホトランジスター PT-100 を使用し、受光面における光量の増減を電圧変換して濃度を測定することとした。光源には定電圧をかけたり定定性を保つようにした。また、出力は直流増

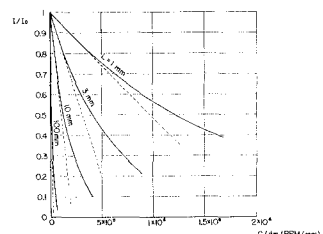


図-1 光量、 C/dm あるいは距離 L の関係

幅器を通して測定しやうとするハニ幅にて記録計に表示するふくにしそう。これらに河川用の濃度計としては、以下の原理に基づいて試作し、濃度範囲が広く測定できる距離Lが可変の装置を製作しそう。

4. 濃度計の検定

濃度計の検定を行はうために、実験水路で濃度計とサイフォン式サンプラーを接続させ、河床から同一高度で濃度測定を行はせた。

(1) 一粒砂：使用砂は $d_m = \sqrt{d_{84} \cdot d_{16}}$; 0.097 mm (A砂), 0.034 mm (B砂), $\sqrt{d_{84} / d_{16}}$; 1.15 (A, B砂とも) である。これらの砂を一粒砂であると仮定して、 C_V を ppm 単位の重量濃度で表わし、 $L=3\text{ mm}$, $k=1$ とすれば、(13) 式はつらうふくに書け。

$$\Delta I / I_0 = \Delta V / V_0 = 1.7 \times 10^{-6} C / dm \quad (14)$$

ここで、 ΔV , V_0 ; ΔI および I_0 に対応し電圧, C/dm ; ppm/mm 単位である。

濃度計による実測値(印)と(14)式の関係(図中の実線)を図-3 に示してある。両者の関係は非常によく一致しており、このことから光波長が砂粒径よりも十分小なりの場合にみれば、一粒砂を使用する範囲において十分な精度でこの装置と濃度計として使用しうることが明らかにえた。また室内であれば、自然光の影響はほとんど問題にならなかつた。

(2) 混合砂：混合砂では粒度分布の広がりがあるため、粒度分布が対数正規分布するとして、この効果を(13)式に基づいて考察し E. (13) 式中の $e^{5/2}$ を $\sqrt{d_{84} / d_{16}}$ の関係で示すと図-4 のようになり、 C_V / d_m が一定であつても $\sqrt{d_{84} / d_{16}}$ の増加に伴つて $\Delta V / V_0$ が増加するといふことができる。

ここでは浮遊砂の粒度分布は VA-Tube による沈降速度を求め、これに Stokes あるいは Allen の式を適用して求めた。その結果が図-5 に示されている。

図-5 中の直線は(13)式で示す理論曲線で、そのこう配は 1.7×10^{-6} である。一粒砂のうちは実測値と理論式とは一致しないが、これは粒度分布と対数正規分布で近似し

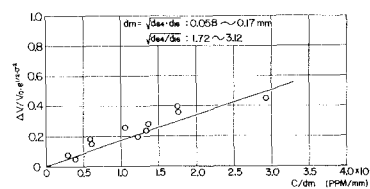


図-5 混合砂による濃度計の検定

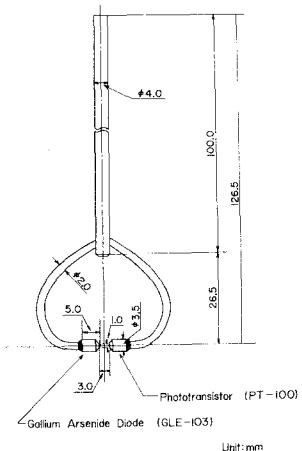


図-2 濃度計検出部

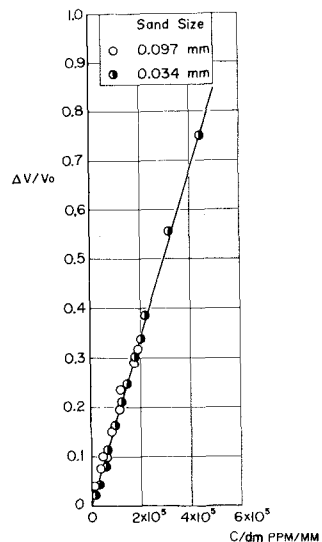


図-3 一粒砂による濃度計の検定

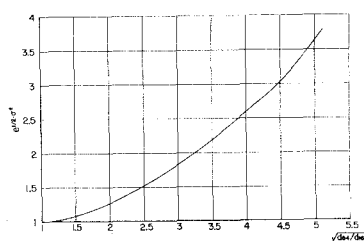


図-4 $e^{5/2}$ と $\sqrt{d_{84} / d_{16}}$ の関係

たことなどが原因であろうと考えられる。しかし、この方法は混合砂に対して比較的簡単な函数形で濃度を測定しうる方法だと考えられる。

5. 濃度計による濃度変動の測定結果

一杯砂(A砂)の濃度変動を測定した例が図-6に相関係数、図-7Aにスペクトルとして図示されてい。図中の流速はプロペラ式流速計によってり成分のうちを測定した結果である。流速変動と濃度変動を比較してみると、濃度変動のスケールは流速に比してかなり小さく、また、そのパワースペクトルのミラ配は Kolmogoroff による $-5/3$ 乗則よりも小さくになっている。ホワイトノイズ的である。Miyake⁴⁾が海上で測定した濃度変動にありてもこれと同様な傾向があることを報告しているが、今後の成分の測定を行なって土砂の拡散係数や渦渦構造の解明をしていくことに考える。さらに東河川の淡水時にありて木下が航空写真の解析から見出した"モエフ"などについても測定したないと考える。

最後に、この研究を進めるにあたり、仰指導を賜わった東洋防災研究所矢野勝正教授に深く感謝の意を表明するとともに、計測器の製作にあたって勞をわざらわしくメトロモーテル研究所沢野技師に心から感謝の意を表す。

参考文献

- 1) 本間・堀川・周辺: 游離砂濃度の測定法について, 第18回国木学会年次学術講演会 講演38, pp.151-154.
- 2) Bhattacharya, Glover, Kennedy: An electro-optical probe for measurement of suspended sediment concentration, 13th Cong. IAHR, Vol.2, 1969, pp.241-250.
- 3) 久保ら編: 粉体一理論と応用一, 共立, 1977, p.182.
- 4) Miyake, Stewart, Burling: Spectra and Cospectra of turbulence over water, Quart. J. R. Met. Soc. 96, 1970, pp.138-143.
- 5) 木下良作: 航空写真による淡水底の解析, その乱流構造と表面の流れかたの特性について, 宇宙測量, 6(1), 1967.

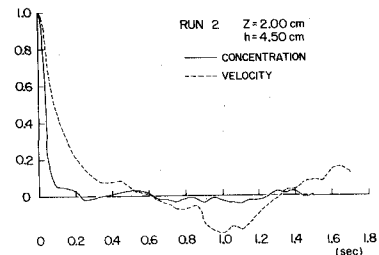


図-6 自己相関係数

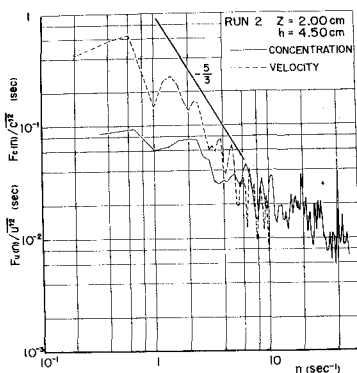


図-7 規格化されたパワースペクトル

$$\bar{C} = 11900 \text{ ppm}, \sqrt{\bar{C}^2} = 454 \text{ ppm}$$

$$\bar{U} = 48.5, \sqrt{\bar{U}^2} = 2.1 \text{ cm/s.}$$